

**О ГОРЕНИИ БЕЗГАЗОВОЙ СМЕСИ
В УЗКОМ ЦИЛИНДРИЧЕСКОМ КАНАЛЕ**

Б. Л. Копелиович

*Институт тепло- и массообмена АН Беларуси,
220728 Минск*

Проведено численное исследование на пределе горения безгазовой смеси в узком цилиндрическом канале с образованием пристенного слоя непрореагировавшего вещества. Рассмотрена перестройка пульсирующего режима распространения волны горения, вызванная теплопотерями, а также градиенты температуры и глубины превращения в образце.

В работах [1, 2] проведено численное исследование горения безгазовой смеси в предельно узком цилиндрическом канале с термически толстыми стенками. Благодаря равенству теплофизических характеристик наполнителя и оболочки в [1, 2] потери тепла невелики, и волна горения распространялась без отрыва от стенок канала.

Рассмотрим предельное горение безгазовой смеси в оболочке с вдвое большей теплопроводностью ($\lambda_i = 2\lambda_f$), в то время как температуропроводности остаются равными, $a_i = a_f$ (индексы f и i относятся к топливу и инерту). Находим решение системы двумерных сопряженных уравнений теплопроводности:

для смеси ($\xi > 0, 0 < \zeta < \zeta_1$)

$$\frac{\partial \Theta}{\partial \tau} = \frac{\partial^2 \Theta}{\partial \xi^2} + \frac{1}{\zeta} \frac{\partial}{\partial \zeta} \left(\zeta \frac{\partial \Theta}{\partial \zeta} \right) + (1 - \eta) \exp \left(\frac{\Theta}{1 + \beta \Theta} \right), \quad (1)$$

$$\frac{\partial \eta}{\partial \tau} = \gamma (1 - \eta) \exp \left(\frac{\Theta}{1 + \beta \Theta} \right) \quad (2)$$

и оболочки ($\xi > 0, \zeta_1 < \zeta < \zeta_2$)

$$\frac{\partial \Theta}{\partial \tau} = \frac{a_i}{a_f} \left(\frac{\partial^2 \Theta}{\partial \xi^2} + \frac{1}{\zeta} \frac{\partial}{\partial \zeta} \left(\zeta \frac{\partial \Theta}{\partial \zeta} \right) \right) \quad (3)$$

с начальными и граничными условиями:

$$\begin{aligned} \tau = 0, \quad 0 < \zeta < \zeta_2 : \quad \Theta &= \Theta_{\text{и}}, \\ 0 < \zeta < \zeta_1 : \quad \eta &= 0, \end{aligned}$$

$$\begin{aligned} \xi = 0, \quad 0 < \zeta < \zeta_1 : \quad \Theta &= \Theta_0, \quad \Theta_0 > \Theta_{\text{и}}, \\ \zeta_1 < \zeta < \zeta_2 : \quad \partial \Theta / \partial \xi &= 0, \end{aligned}$$

$$\begin{aligned} \xi = \infty, \quad 0 < \zeta < \zeta_2 : \quad \Theta &= \Theta_{\text{и}}, \\ 0 < \zeta < \zeta_1 : \quad \eta &= 0, \end{aligned}$$

$$\zeta = 0 : \quad \partial \Theta / \partial \zeta = 0,$$

$$\zeta = \zeta_1 : \quad \Theta_f = \Theta_i, \quad \partial \Theta_f / \partial \zeta = (\lambda_i / \lambda_f) \cdot \partial \Theta_i / \partial \zeta,$$

$$\zeta = \zeta_2 : \quad \partial \Theta / \partial \zeta = 0.$$

Безразмерные величины

$$\begin{aligned}\Theta &= (T - T_*)E/RT_*^2, \quad \beta = RT_*/E, \quad \gamma = cRT_*^2/QE, \\ \tau &= t/t_*, \quad \xi = x/l, \quad \zeta = y/l, \quad t_* = cRT_*^2/QEk_0e^{-E/RT_*}, \\ l &= (a_f t_*)^{1/2}, \quad T_* = T_{\text{г}} - RT_*/E^2, \quad T_{\text{г}} = T_{\text{и}} + Q/c.\end{aligned}$$

Здесь и далее использованы следующие обозначения: T — температура, η — глубина превращения исходного вещества в продукты реакции, Q — тепловой эффект реакции на единицу массы, c — теплоемкость, a — температуропроводность; k_0 — предэкспоненциальный множитель, E — энергия активации; безразмерные величины: Θ — температура, τ , ξ , ζ — временная, аксиальная и радиальная координаты, u — скорость распространения волны горения, δ — расстояние от инерта (с индексом 0 — до края фронта, w — до ближайшего участка фронта, где еще не разделены $(J_a^m)_{\max}$ и $(J_r^m)_{\max}$, h — до ближайшего участка фронта, где еще не разделены $(J_a^h)_{\max}$ и $(J_r^h)_{\max}$; индексы: i — начальный момент, $*$ — масштабная величина, г — температура адиабатического горения.

Смесь с начальной температурой Θ_{i} зажигалась нагретой до значения Θ_0 поверхностью. Теплообмен с внешней средой отсутствует, на границе смеси с инертом соблюдается равенство температур и тепловых потоков. Кинетические параметры смеси входят в область устойчивого стационарного режима распространения волны горения в адиабатических условиях [3].

Возросшие по сравнению с [2] потери тепла приводят к затягиванию времени зажигания и перехода к установившемуся режиму распространения волны горения в отрыве от оболочки. Пристенный слой непрореагировавшего вещества в значительной мере снижает влияние теплопотерь. Благодаря его экранирующему действию среднее значение максимальной температуры продуктов реакции и скорости распространения волны горения вдоль оси близки к адиабатическим значениям, $u_a/u \approx 1,04$.

Положение фронта реакции в образце определяется по максимуму скорости химической реакции W_{\max} в каждой строке расчетной сетки. Край изогнутой поверхности фронта связан с максимумом теплового потока в стенку канала и отстоит от нее на расстояние $\delta_0 \approx 6,67$. Предельный радиус образца $\zeta_1^{\text{lim}} \approx 293,3$, найденный путем изменения внутреннего радиуса цилиндра при постоянной толщине его оболочки $\Delta\chi \approx 567,4$, увеличился по сравнению со значением $\zeta_1^{\text{lim}} \approx 286,5$ в [2] на величину δ_0 .

Пульсирующий режим движения изолинии глубины превращения исходного вещества $\eta = 0,5$ во внутренней области наполнителя практически не меняется по сравнению с [2]. Возле оси образца колебания скорости перемещения изолинии $\eta = 0,5$ близки к гармоническим, но с удалением от оси они резче и асимметричней (рис. 1,а). На расстоянии δ_0 от границы с инертом амплитуда и период пульсаций удваиваются, причем срыв устойчивости колебаний ведет к повторному удвоению длительности отдельных зубцов (рис. 1,б). В [4, 5] подобное изменение динамики колебаний скорости распространения одномерной волны безгазового горения происходит под влиянием возмущений, которые превышают критическое значение параметра, связанного с энергией активации. При дальнейшем сокращении расстояния от оболочки изолиния $\eta = 0,5$ резко отступает к зажигающей поверхности, и скорость ее перемещения снижается на несколько порядков. Из рис. 1,в (кривая 3) видно, что значение δ_0 постоянно во времени, так как в используемой системе распределения узлов расчетной сетки его пульсации не улавливаются.

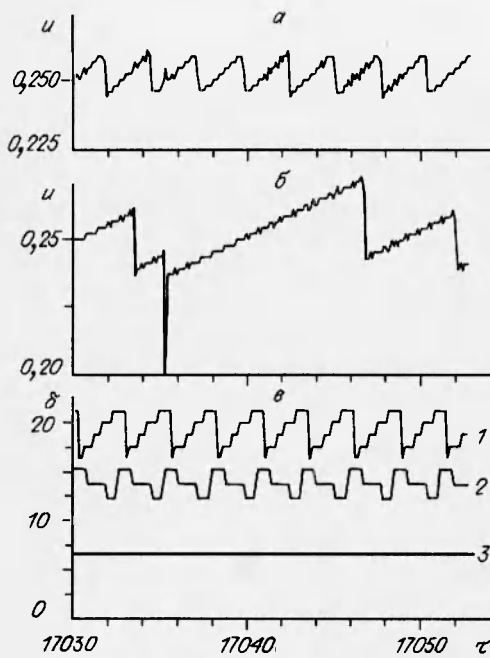


Рис. 1. Структура пульсаций скорости перемещения изолинии $\eta = 0,5$ на расстояниях от оболочки 8,22 (а) и 6,67 (б), а также изменение со временем значений δ_h (1), δ_w (2) и δ_0 (3) (в).

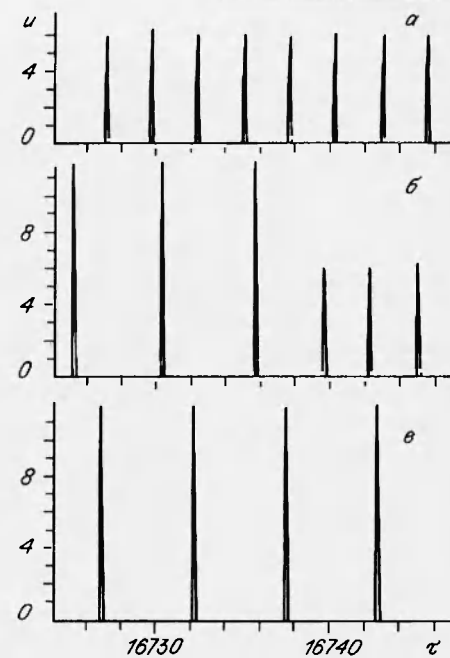


Рис. 2. Структура пульсаций скорости перемещения фронта реакции на расстояниях от оболочки 10,55 (а), 8,22 (б), 6,67 (в).

Фронт реакции совпадает с изолинией $\eta = 0,5$ во внутренней области наполнителя, вплоть до расстояния δ_w от оболочки, и распространяется в том же режиме. На расстоянии от инерта, меньшем δ_w , вследствие недогорания вещества фронт опережает изолинию $\eta = 0,5$. Динамика его движения перестраивается и предстает в виде сменяющих друг друга вспышек и депрессий (рис. 2,а). Ближе к инерту автоколебательное движение фронта время от времени происходит с вдвое большими периодом и амплитудой [4, 5], как показано на рис. 2,б. Увеличение вдвое периода колебаний и их амплитуды становится более устойчивым на расстоянии δ_0 от границы с инертом (рис. 2,в). Ближе к оболочке максимум скорости химической реакции резко снижается, становится размытым, уменьшается глубина превращения вещества, поэтому W_{\max} нельзя более принимать за фронт реакции. Еще ближе к стенке канала располагается экранирующий инертный слой, а замедленная объемная реакция «теплится» возле зажигающей поверхности.

Рассмотрим градиенты температуры и глубины превращения с пульсирующими значениями в произвольный момент времени τ . Для вектора $J^m = -\text{grad} \eta$ в каждом продольном сечении образца радиальная компонента образует пик с вершиной $(J_r^m)_{\max}$, а аксиальная — с вершиной $(J_a^m)_{\max}$. Обе вершины совмещены друг с другом, а также с максимумом скорости химической реакции W_{\max} и значением $\eta = 0,5$ во внутренней области наполнителя вплоть до расстояния δ_w от оболочки (рис. 3,а). Ближе к границе с инертом $(J_r^m)_{\max}$ и $(J_a^m)_{\max}$ расходятся, причем $(J_a^m)_{\max}$ следует за W_{\max} , а $(J_r^m)_{\max}$ — за изолинией $\eta = 0,5$ [2]. В продольном сечении тепловой волны на расстоянии δ_0 от стенки канала радиальная компонента вектора $J^m = -\text{grad} \eta$ принимает форму ступеньки (рис. 3,б, кривая 2). На меньшем удалении от стенки $(J_r^m)_{\max}$ и $(J_a^m)_{\max}$ переносятся к зажигающей поверхности вслед за изолинией $\eta = 0,5$ и W_{\max} соответственно. Изменение δ_w со временем показано на рис. 1,в (кривая 2).

Величина $\delta_w - \delta_0$ порядка толщины зоны реакции и колеблется в том же интервале, что и δ_w в [2] при $\delta_0 = 0$.

Радиальная и аксиальная компоненты теплового потока $J^h = -\text{grad } \Theta$ в каждой строке расчетной сетки имеют форму пика с вершинами $(J_r^h)_{\max}$ и $(J_a^h)_{\max}$. Как отмечалось в [2], эти вершины совмещены во внутренней области наполнителя вплоть до расстояния δ_h от оболочки и расположены в начале зоны прогрева. На расстоянии от стенки канала, меньшем δ_h , они разделяются, причем $(J_a^h)_{\max}$ выходит вперед. В пристенном слое непрореагировавшего вещества толщиной, меньшей δ_0 , пик $(J_r^h)_{\max}$ остается на уровне волны горения, распространяющейся в отрыве от оболочки. Максимум теплового потока в стенку канала, связанный с краем фронта реакции (рис. 3, б), перемещается в том же режиме, но с некоторым сдвигом по фазе по отношению к пульсациям, представленным на рис. 2, б. Максимум аксиальной компоненты теплового потока $(J_a^h)_{\max}$ на границе с инертом расположен впереди $(J_r^h)_{\max}$ на расстоянии 12 характерных длин реакции. Изменение δ_h со временем изображает кривая 1 рис. 1, б. Величина $\delta_h - \delta_0$ порядка ширины зоны прогрева и остается в тех же пределах, что и δ_h в [2] при $\delta_0 = 0$. Как видно из рисунка, колебания δ_h и δ_w свинуты по фазе.

Исследуем изменения компонент векторов $J^h = -\text{grad } \Theta$ и $J^m = -\text{grad } \eta$ по толщине образца. В пристенном слое учтем их значения в области прохождения тепловой волны, не принимая во внимание объемную реакцию вблизи зажигающей поверхности. Аксиальные составляющие $(J_a^m)_{\max}$ и $(J_a^h)_{\max}$ внутри наполнителя примерно постоянны, но резко снижаются вблизи оболочки (рис. 4, кривые 1). Радиальные составляющие $(J_r^m)_{\max}$ и $(J_r^h)_{\max}$, отсутствующие вблизи оси образца, появляются и возрастают вместе с изгибом тепловой волны. Ход кривых 2 на рис. 4 показывает, что $(J_r^h)_{\max}$ достигает максимума на расстоянии δ_h от стенки канала, а $(J_r^m)_{\max}$ — на несколько меньшем расстоянии, также лежащем в пределах изменения δ_h . На границе с инертом тепловой поток $(J_r^h)_{\max}$ снизился приблизительно в 1,8 раза по сравнению с [2], благодаря защитному действию пристенного слоя. На расстоянии δ_h от оболочки в точке пересечения кривых 1 и 2 на рис. 4, б $(J_a^h)_{\max} = (J_r^h)_{\max}$, а на расстоянии, несколько превышающем δ_h , $(J_a^m)_{\max} = (J_r^m)_{\max}$ (см. рис. 4, а).

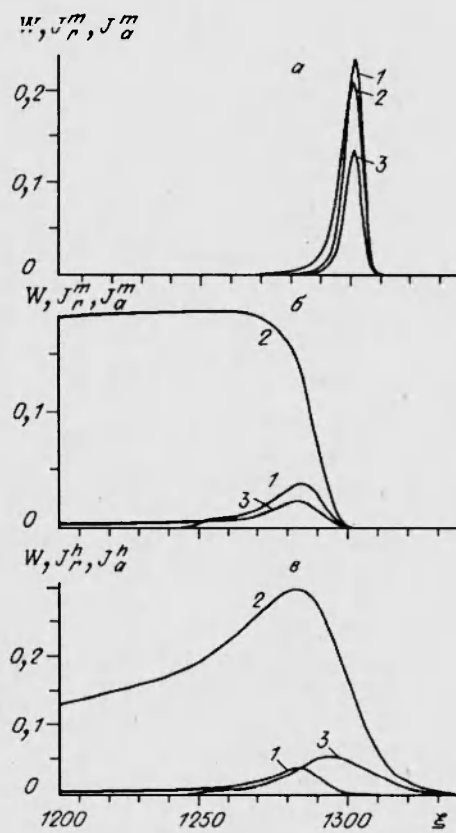


Рис. 3. Скорость химической реакции W (1) и составляющие вектора J^m : J_r^m (2) и J_a^m (3) в продольных сечениях на расстояниях от границы с инертом δ_w (а), δ_0 (б). в — скорость химической реакции W (1) на расстоянии δ_0 от границы с инертом и составляющие теплового потока J^h (2) и J_a^h (3) на границе с инертом.

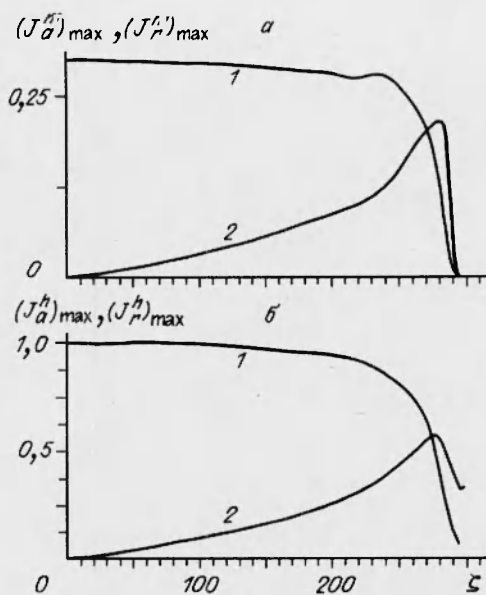


Рис. 4. Распределение по толщине наполнителя значений $(J_a^m)_{\max}$ (1) и $(J_r^m)_{\max}$ (2) (а) и значений $(J_a^h)_{\max}$ (1) и $(J_r^h)_{\max}$ (2) (б).

Приведенные результаты хорошо согласуются с качественным анализом влияния теплопотерь на безгазовое горение в работах [6, 7]. Величина δ_h соответствует оценкам расстояния от отводящей тепло стенки канала до внутренней области наполнителя, где волну горения можно считать слабо возмущенной. Подтверждается предсказанное значение угла $\varphi \simeq \pi/4$ между нормалью к фронту реакции и направлением его распространения на расстоянии δ_h от инерта.

ЛИТЕРАТУРА

1. Копелиович Б. Л. Влияние слабого теплоотвода на горение безгазовой смеси // Физика горения и взрыва. 1993. Т. 29, № 6. С. 46–49.
2. Копелиович Б. Л. О распространении волны безгазового горения в узком цилиндрическом канале без отрыва от стенок // Физика горения и взрыва. 1995. Т. 31, № 1. С. 65–70.
3. Шкадинский К. Г., Хайкин Б. И., Мержанов А. Г. Распространение пульсирующего фронта экзотермической реакции в конденсированной фазе // Физика горения и взрыва. 1971. Т. 7, № 1. С. 19–28.
4. Алдушин А. П., Мартемьянова Т. М., Мержанов А. Г. и др. Автоколебательное распространение фронта горения в гетерогенных конденсированных средах // Физика горения и взрыва. 1973. Т. 9, № 5. С. 613–626.
5. Bayliss A., Matkowsky B. J. Two routes to chaos in condensed phase combustion // SIAM J. Appl. Math. 1990. V. 50, N 2. P. 437–459.
6. Александров В. В., Давыденко А. А., Коваленко Ю. А., Поддубный Н. П. О влиянии двумерности фронта при теплопотерях на пределы стационарного безгазового горения // Физика горения и взрыва. 1987. Т. 23, № 2. С. 70–80.
7. Коваленко Ю. А. Предельные условия стационарного режима безгазового горения при теплоотдаче в стенки // Физика горения и взрыва. 1987. Т. 23, № 6. С. 61–65.

Поступила в редакцию 8/VI 1994 г.,
в окончательном варианте — 20/IV 1995 г.